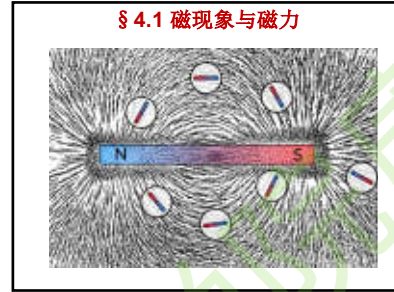


1

**第4章 磁力与磁场**

- § 4.1 磁现象与磁力
- § 4.2 电流的磁场
- § 4.3 静磁场的基本定理
- § 4.4 带电粒子在磁场中的运动
- § 4.5 霍尔效应

2



3

**§ 4.1.1 磁现象研究历史和磁性的起源**

磁现象的研究与应用（即磁学）是一门古老又年轻的学科。

**磁现象的发现与应用历史悠久**

“慈石”，“Love Stone”，“Magnet”  
司南、指南针、五石散... “莫可原其理”  
马里古特命名南北极，吉尔伯特《论磁》

**磁的应用目前越来越广泛，已形成了许多与磁学相关的交叉学科。**

磁现象是一种普遍现象，一切物质都具有磁性。  
任何空间都存在磁场。

4



5

**磁的基本现象**

对基本磁现象的认识可以分为三个阶段  
早期阶段：认识磁的基本现象（磁铁 ⇌ 磁铁）

天然磁铁能吸引铁、钴、镍等物质



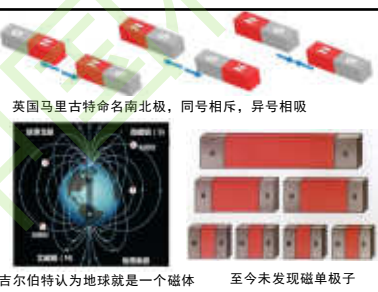
天然磁铁矿石

6

英国马里古特命名南北极，同号相斥，异号相吸

吉尔伯特认为地球就是一个磁体

至今未发现磁单极子



7



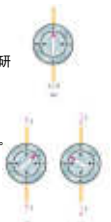
8

**电与磁的联系**

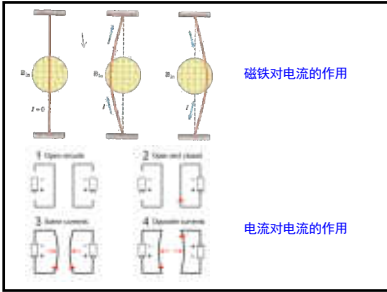
电流磁效应的发现（电流 ⇌ 磁铁，电流 ⇌ 电流）

1820年4月，奥斯特发现电流对磁铁的作用。  
打破了长期以来电学与磁学彼此独立发展和研究的界限。

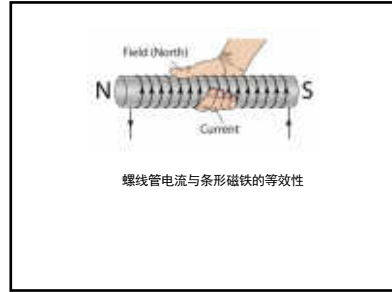
现代电磁学研究的基础  
人们开始认识到电与磁有着不可分割的联系。



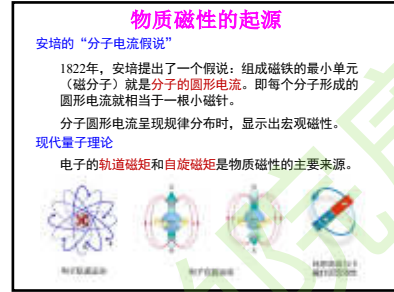
9



10



11



12

### § 4.1.2 安培定律

<b>静电学</b> <ul style="list-style-type: none"> <li>电荷与电荷之间的作用</li> <li>点电荷</li> <li>库仑定律</li> </ul>	<b>稳恒磁场</b> <ul style="list-style-type: none"> <li>电流与电流之间的作用</li> <li>电流元</li> <li>安培定律</li> </ul>
点电荷可以近似得到	稳恒电流只能存在于闭合回路之中，无法孤立得到

13

### 安培定律建立历史

- 1820年7月21日，**奥斯特**发表了他著名的实验，即长直电流附近的磁针受力偏转。
- 9月11日，**阿喇果**在法国科学院介绍了这一成果。
- 9月18日，**安培**进行了圆电流对磁针的作用的实验。
- 9月25日，**安培**在法国科学院报告了关于平行载流导线之间的相互作用。
- 10月初，**安培**提出了螺线管与条形磁铁的等效性。
- 10月30日，法国科学家**毕奥**和**萨伐尔**发表了长直导线对磁极的作用力反比于距离的实验结果。在**拉普拉斯**的参与下得到了著名的定律。
- 12月4日，**安培**提出了电流相互作用的公式，即安培定律。
- 1821年1月，**安培**提出了分子电流假说。

14

### 安培的四个示零实验

安培定律并不是直接由实验得到，而是在安培设计的很巧妙的**四个示零实验和一个假设**的基础上，与相当高超的数学技巧相结合得到的。

安培首先设计了**无定向秤**

在**均匀磁场**（如地磁场）中，它所受的合力与合力矩均为零，处于**随遇平衡**；

在**非均匀磁场**中，它会**发生运动**

15

### 实验一

**实验：**安培将一对折的通电导线移近无定向秤

**结果：**无定向秤无任何反应

**结论：**强度相等、方向相反的电流，对别的电流产生的**作用力大小相等、方向相反**

16

### 实验二

**实验：**安培将对折的通电导线中的一根成螺旋形绕在另一根上，移近无定向秤

**结果：**无定向秤无任何反应

**结论：**一段螺旋线导线的作用与直导线的作用相同

许多电流元的作用是各个电流元作用的**矢量叠加**

17

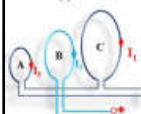
### 实验三

**实验：**安培将圆弧形导体架在水银槽上，经水银通电。用各种通电线圈靠近它。改变通电回路。

**结果：**圆弧导体不动。

**结论：**作用力垂直于电流方向

18

**实验四**

**实验:**  
安培将三个周长比为1:k:k的线圈通上电，A、C固定，电流相等。B可自由活动，电流任意。  
**结果:**  
只有间距比为1:k时，B才不受力。  
**结论:**  
距离增大k倍时，电流长度需增加k<sup>2</sup>倍。  
电流元之间的作用力的大小服从平方反比规律？

19

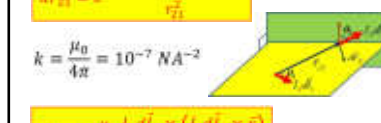
**安培定律**

两个电流元之间的相互作用力：

$$d\vec{F}_{21} = \frac{\mu_0}{4\pi} \frac{l_2 d\vec{l}_2 \times (l_1 d\vec{l}_1 \times \vec{r})}{r_{21}^2}$$

$$k = \frac{\mu_0}{4\pi} = 10^{-7} \text{ N A}^{-2}$$

$$d\vec{F}_{21} = \frac{\mu_0}{4\pi} \frac{l_2 d\vec{l}_2 \times (l_1 d\vec{l}_1 \times \vec{r})}{r_{21}^3}$$



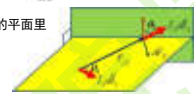
20

**安培定律**

数值上也可以写为：

$$d\vec{F}_{21} = \frac{\mu_0}{4\pi} \frac{l_1 l_2 d\vec{l}_1 d\vec{l}_2 \sin \theta_1 \sin \theta_2}{r_{21}^2}$$

**方向:**  
• 在施力电流元与位移构成的平面里  
• 与受力电流元垂直



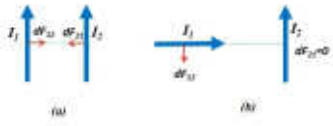
正确性无法用实验来直接检验，因为无法得到稳恒电流元。

21

**讨论**

电流元之间的相互作用力不一定满足牛顿第三定律

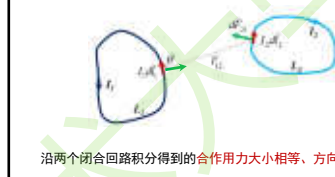
$$d\vec{F}_{21} = k \frac{l_2 d\vec{l}_2 \times (l_1 d\vec{l}_1 \times \vec{r})}{r_{21}^2}$$



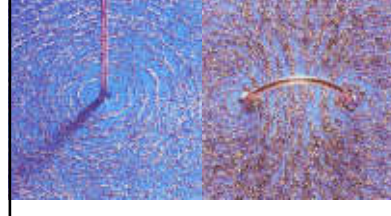
22

**讨论**

但两个闭合电流回路的相互作用力满足牛顿第三定律



23

**§ 4.2 电流的磁场**

24

**§ 4.2.1 磁感应强度**

电流与电流之间的相互作用：

电流产生磁场  
磁场对电流作用

用试探电流元  $I_0 d\vec{l}_0$  来定义磁感应强度  $\vec{B}$ 

电流所受的力垂直于电流方向

定义电流元所受的力满足： $d\vec{F}_0 = I_0 d\vec{l}_0 \times \vec{B}$ 

25

$$d\vec{F}_0 = I_0 d\vec{l}_0 \times \vec{B}$$

$$(dF_0)_{max} = I_0 d\vec{l}_0 B$$

$$B = \frac{(dF_0)_{max}}{I_0 d\vec{l}_0}$$

磁感应强度的单位为特斯拉(T)  $1 T = 1 \text{ N A}^{-1} \text{ m}^{-1}$ 

有时候也用高斯作为磁感应强度的单位(Gs, G)

$$1 T = 10 \text{ kGs}$$

26

**毕奥-萨伐尔定律 (Biot-Savart Law)**

关于电流产生的磁感应强度的定律

磁感应强度的定义：

$$d\vec{F}_0 = I_0 d\vec{l}_0 \times d\vec{B}$$

安培定律：

$$d\vec{F}_{21} = \frac{\mu_0}{4\pi} \frac{l_0 d\vec{l}_0 \times (l d\vec{l} \times \vec{r})}{r^3}$$

比较可得电流元产生的磁感应强度：

$$d\vec{B} = \frac{\mu_0}{4\pi} \frac{l d\vec{l} \times \vec{r}}{r^3}$$

27

## 不同电流元产生的磁感应强度

线电流元:  $d\vec{B} = \frac{\mu_0 I dl}{4\pi r^3} \hat{dl} \times \hat{r}$

面电流元:  $d\vec{B} = \frac{\mu_0 I dS \times \hat{r}}{4\pi r^3}$

体电流元:  $d\vec{B} = \frac{\mu_0 I dV \times \hat{r}}{4\pi r^3}$

28

## 叠加原理

$$dF_B = l_0 d\vec{l}_0 \times d\vec{B}$$

由力的叠加原理可得到磁感应强度的叠加原理

$$\vec{F}_0 = l_0 d\vec{l}_0 \times \vec{B}$$

$$\vec{F}_0 = \int d\vec{F}_0 = \int l_0 d\vec{l}_0 \times d\vec{B} = l_0 d\vec{l}_0 \times \int d\vec{B}$$

$$\vec{B} = \int d\vec{B}$$

29

【例4.1】长直线电流I, 求在距离为 $r_0$ 处一点P的磁场。【解】沿电流方向取一电流元 $Idl$ 

代入毕奥-萨伐尔定律:

$$d\vec{B} = \frac{\mu_0}{4\pi} \frac{(Idl \times \hat{r})}{r^3}$$

$$dB = \frac{\mu_0 I dl \sin \phi}{4\pi r^2}$$

$$r = \frac{r_0}{\sin \phi}$$

$$l = -r_0 \cot \phi$$

$$dl = \frac{r_0 d\phi}{\sin^2 \phi}$$

30

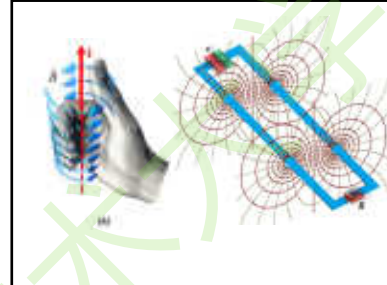
$$dB = \frac{\mu_0 I dl \sin \phi}{4\pi r^2} = \frac{\mu_0 I \left( \frac{r_0 d\phi}{\sin^2 \phi} \right) \sin \phi}{4\pi \left( \frac{r_0}{\sin \phi} \right)^2} = \frac{\mu_0 I}{4\pi r_0^2} \sin \phi d\phi$$

$$B = \int dB = \frac{\mu_0 I}{4\pi r_0} \int_{\phi_1}^{\phi_2} \sin \phi d\phi = \frac{\mu_0 I}{4\pi r_0} (\cos \phi_1 - \cos \phi_2)$$

对无限长直导线:  $\phi_1 = 0, \phi_2 = \pi$

$$B = \frac{\mu_0 I}{2\pi r_0}$$

31



32

$$B = \frac{\mu_0 I}{2\pi r}$$

稳恒电流

$$E = \frac{\lambda}{2\pi r_0}$$

静止电荷

33

【例4.2】半径为a的圆电流I, 求轴线上距离圆心为x的P点处的磁场。

【解】由对称性可知, 只有x分量

$$d\vec{B} = \frac{\mu_0}{4\pi} \frac{(Idl \times \hat{r})}{r^3}$$

$$dB_x = \frac{\mu_0}{4\pi} \frac{Idl \cos \theta}{r^2}$$

$$B_x = \int dB_x = \int \frac{\mu_0}{4\pi} \frac{Idl \cos \theta}{r^2} = \frac{\mu_0 I \cos \theta}{4\pi} \int dl$$

$$B_x = \frac{\mu_0 I \cos \theta}{4\pi r^2} 2\pi a = \frac{\mu_0 I \cos \theta}{2} \frac{a^2}{r^2} = \frac{\mu_0 I a^2}{2} \frac{\cos \theta}{r^2}$$

34

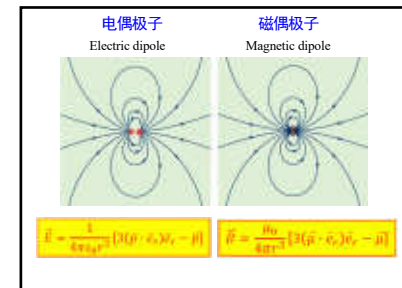
圆形电流的磁矩  $\vec{\mu} = I\vec{S} = I\pi a^2 \hat{e}_x$

则轴线上  $\vec{B} = \frac{\mu_0 \vec{\mu}}{2\pi r^3}$

圆心处  $B = \frac{\mu_0 \vec{\mu}}{2\pi a^3} = \frac{\mu_0 I}{2} \frac{\hat{e}_x}{a}$

无限远处  $\vec{B} \approx \frac{\mu_0 \vec{\mu}}{2\pi x^3}$

35



36

### 亥姆霍兹线圈 (Helmholtz coil)



两个圆形线圈共轴、大小一致；  
电流方向一致；  
线圈距离正好等于线圈半径。  
线圈之间的轴线上磁场很均匀。

37

$$B_x = \frac{\mu_0 I \alpha^2}{2 r^3} = \frac{\mu_0 I \alpha^2}{2 (\alpha^2 + x^2)^{3/2}}$$

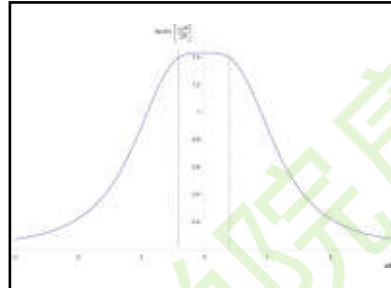
$$B_x = \frac{\mu_0 I R^2}{2} \left[ \frac{1}{\left( R^2 + \left(\frac{d}{2} + x \right)^2 \right)^{3/2}} + \frac{1}{\left( R^2 + \left(\frac{d}{2} - x \right)^2 \right)^{3/2}} \right]$$

$$\frac{dB_x(x)}{dx} = 0 \Leftrightarrow x = 0$$

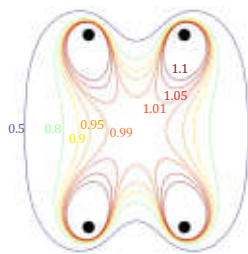
$$\frac{d^2 B_x(x)}{dx^2} \Big|_{x=0} = 0 \Leftrightarrow d = R$$

$$B_{0,x} = \left( \frac{4}{5} \right)^{3/2} \frac{\mu_0 I N}{R}$$

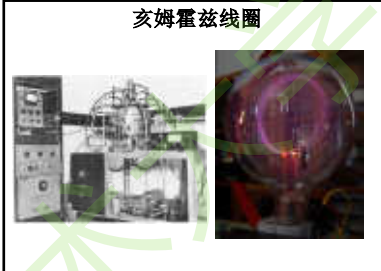
38



39



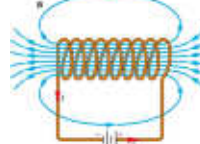
40



41

### 螺线管 (Solenoid Coils)

【例】绕在圆柱面上的螺旋形线圈叫螺线管。设它的长度为 $l$ , 单位长度的匝数为 $n$ , 电流强度为 $I$ , 求螺线管轴线上的磁感应强度分布。



42

$$B_x = \frac{\mu_0 I \alpha^2}{2 r^3}$$

$$dB_x = \frac{\mu_0 R^2}{2 r^3} (I \cdot n \pi r) dr$$

$$r = -R \cot \theta, r = R / \sin \theta$$

$$dr = \frac{R}{\sin^2 \theta} d\theta$$

$$B_x = \frac{\mu_0 n I}{2} \int_{\theta_1}^{\theta_2} \sin \theta d\theta = \frac{\mu_0 n I}{2} (\cos \theta_1 - \cos \theta_2)$$

43

$$B_x = \frac{\mu_0 n I}{2} (\cos \theta_1 - \cos \theta_2)$$

中心处:  $x_0 = \frac{l}{2}, \cos \theta_1 = \frac{l}{2}/\sqrt{R^2 + l^2/4}, \cos \theta_2 = -\cos \theta_1$

$$B_{0x} = \frac{\mu_0 n l}{2} 2 \cos \theta_1 = \frac{\mu_0 n l l}{2\sqrt{R^2 + l^2/4}} = \frac{\mu_0 n l l}{4\sqrt{R^2 + l^2}}$$

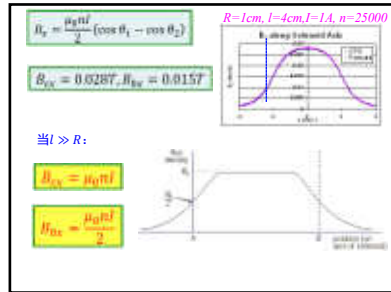
左侧端点:  $x_0 = 0, \cos \theta_1 = 0, \cos \theta_2 = -l/\sqrt{R^2 + l^2}$

$$B_{0x} = \frac{\mu_0 n l}{2} \cos \theta_1 = \frac{\mu_0 n l l}{2\sqrt{R^2 + l^2}}$$

右侧端点:  $x_0 = l, \cos \theta_1 = l/\sqrt{R^2 + l^2}, \cos \theta_2 = 0$

$$B_{0x} = -\frac{\mu_0 n l}{2} \cos \theta_2 = \frac{\mu_0 n l l}{2\sqrt{R^2 + l^2}}$$

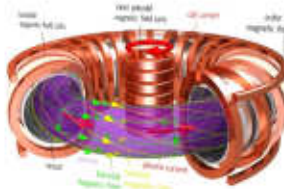
44



45

## 托克马克中的磁场

Tokamak



## 科大一环 (KTX)

反场缩磁约束聚变实验装置

Keda Torus eXperiment



科大一环者，非道路之名，非珍珠钻石之实。我国首台反场缩磁聚变约束装置之称也。昨日中国科学报头版推出，人民日报、人民网、安徽财经、科学网、环球网、合肥晚报等媒体，纷纷跟进，俨然网络热搜也。余謔曰：名成一日，事成十年。

科大一环者，聚变之道，其价不输珍珠钻石也。

物理学 刘万东 教授

46

47

## 运动电荷产生的磁场

—束载流子定向运动

$$\vec{j} = nq\vec{v}$$

取一电流元  $\vec{j} dV$ 

$$d\vec{B} = \frac{\mu_0}{4\pi} \frac{\vec{j} dV \times \vec{r}}{r^3}$$

电流元中的电荷数

$$dN = n dV$$

单个运动电荷产生的磁场

$$\vec{B} = \frac{d\vec{B}}{dN} = \frac{\mu_0}{4\pi} \frac{\vec{j} dV \times \vec{r}}{n dV r^3} = \frac{\mu_0 q \vec{v} \times \vec{r}}{4\pi r^3}$$

48

$$\vec{B} = \frac{\mu_0 q \vec{v} \times \vec{r}}{4\pi r^3}$$

$$\vec{E} = \frac{1}{4\pi \epsilon_0} \frac{q \vec{r}}{r^3}$$

$$\vec{B} = \vec{v} \times \frac{\mu_0 q \vec{r}}{4\pi r^3} = \mu_0 v_0 \vec{v} \times \frac{1}{4\pi \epsilon_0 r^3} = \mu_0 v_0 \vec{v} \times \vec{E}$$

$$\vec{B} = \frac{1}{c^2} \vec{v} \times \vec{E}$$

← 相对论下依然成立

相对论下：

$$\vec{E} = \frac{1}{4\pi \epsilon_0} \frac{q \vec{e}_r}{r^2} \frac{1 - \beta^2}{(1 - \beta^2 \sin^2 \theta)^{3/2}}$$

49

$$\text{运动电荷产生的磁场}$$

一个电子做匀速圆周运动产生的磁场

圆心处：  

$$\vec{B} = \frac{\mu_0 eva}{4\pi a^3} \vec{e}_k$$

轴线其他地方：对时间求平均，垂直于轴线部分抵消  

$$\vec{B} = \frac{\mu_0 eva}{4\pi r^2} \vec{e}_x = \frac{\mu_0 eva}{4\pi r^3} \vec{e}_x$$

50

## § 4.2.2 磁场对电流的力与力矩

均匀磁场中的力

线电流：  

$$d\vec{F} = I d\vec{l} \times \vec{B}$$

$$\vec{F} = \int_L I d\vec{l} \times \vec{B}$$

面电流：  

$$d\vec{F} = \vec{I} dS \times \vec{B}$$

$$\vec{F} = \iint_S \vec{I} dS \times \vec{B}$$

体电流：  

$$d\vec{F} = \vec{j} dV \times \vec{B}$$

$$\vec{F} = \iiint_V \vec{j} dV \times \vec{B}$$

运动电荷：  

$$\vec{F} = q\vec{v} \times \vec{B}$$

51

$$\text{均匀磁场中的力矩}$$

线电流：  

$$\vec{M} = \int_L \vec{r} \times (I d\vec{l} \times \vec{B})$$

面电流：  

$$\vec{M} = \iint_S \vec{r} \times (\vec{I} \times \vec{B}) dS$$

体电流：  

$$\vec{M} = \iiint_V \vec{r} \times (\vec{j} \times \vec{B}) dV$$

运动电荷：  

$$\vec{M} = q\vec{r} \times (\vec{v} \times \vec{B})$$

52

【例】求一电流强度为I的载流线圈在均匀磁场B中所受的力与力矩。

【解】由于  $d\vec{l} = d\vec{r}$

$$\vec{F} = \int_L I d\vec{l} \times \vec{B} = I \left( \int_L d\vec{r} \right) \times \vec{B} = 0$$

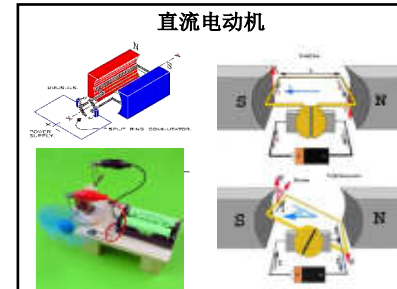
$$\vec{M} = \int_L \vec{r} \times (I d\vec{l} \times \vec{B}) = I \left( \frac{1}{2} \int_L \vec{r} \times d\vec{r} \right) \times \vec{B} = \vec{\mu} \times \vec{B}$$

磁矩：  

$$\vec{\mu} = I\vec{S}$$

闭合线圈在均匀磁场中受力为零，力矩不为零

53



54

闭合线圈在非均匀磁场中的力与力矩

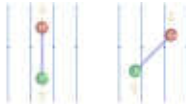
梯度力：

$$\vec{F} = (\vec{\mu} \cdot \nabla) \vec{B} = \left( \mu_x \frac{\partial}{\partial x} + \mu_y \frac{\partial}{\partial y} + \mu_z \frac{\partial}{\partial z} \right) \vec{B}$$

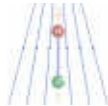
$$\vec{M} \approx \vec{\mu} \times \vec{B}$$

55

均匀磁场

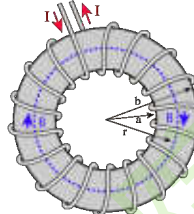


非均匀磁场



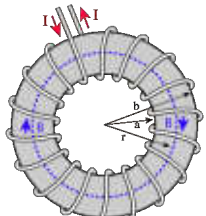
56

思考



57

### § 4.3 静磁场的基本定理



58

### § 4.3.2 磁场高斯定理

高斯定理：通过任意闭合曲面的磁通量等于零

$$\Phi = \iiint_S \vec{B} \cdot d\vec{S} = 0$$

物理意义：反映了磁场的“无源性”，即孤立磁荷不存在。

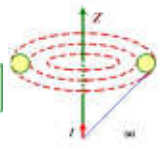


59

证明：

电流元产生的磁场

$$d\vec{B} = \frac{\mu_0 I d\vec{l} \times \vec{r}}{4\pi r^3} = \frac{\mu_0 I d\vec{l}}{4\pi r^2} \hat{r} \times \vec{r}$$



磁场线构成一个个呼啦圈（救生圈）

60

呼啦圈在任意一个封闭曲面上都会切出两个面元。

通过这两个面元的磁通量大小相等，方向相反。

反过来，一个封闭曲面被任意一个呼啦圈切割产生的面元，磁通量之和恒为零。

任意一个电流元在任意一个封闭曲面产生的磁通量为零。

根据叠加原理，任意电流在任意封闭曲面产生的磁通量为零。

61

积分形式

$$\Phi = \iiint_S \vec{B} \cdot d\vec{S} = 0$$

微分形式

$$\nabla \cdot \vec{B} = 0$$

对于任意磁场，磁场强度往往不均匀，磁感应线管截面也不均匀。



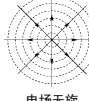
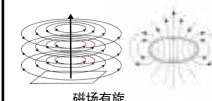
62

### § 4.3.3 安培环路定理

安培环路定理：沿任意闭合曲线，磁感应强度的环量等于穿过该闭合曲线的电流强度的代数和的 $\mu_0$ 倍。

$$\oint_L \vec{B} \cdot d\vec{l} = \mu_0 \sum_{I_{\text{in}}} I_i$$

物理意义：反映了磁场的“有旋性”。



63

### 立体角

对任意曲面，当参考点在曲面上时

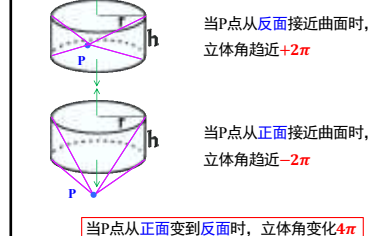
$$\Omega = \iint_S d\Omega = 4\pi$$

当参考点在曲面外时

$$\Omega = \iint_S d\Omega = 0$$

64

当一个面与一个点非常近时，立体角是多少？



65

设电流环路为  $L'$ ,  $P'$  为电流元所在处，“源点”

$L$  为积分回路,  $P$  为积分元所在处, “场点”

$\vec{r}$  为源点到场点的位移,  
 $\vec{r}'$  为场点到源点的位移

$$\vec{B} \cdot d\vec{l} = \frac{\mu_0 I}{4\pi} \frac{d\vec{l} \times \vec{r}}{r^3}, d\vec{l} = \frac{\mu_0 I}{4\pi} \oint_L \frac{d\vec{l} \times d\vec{l}'}{r'^2} \cdot \vec{r}'$$

$$\vec{B} \cdot d\vec{l} = \frac{\mu_0 I}{4\pi} \oint_L \frac{d\vec{l} \times (-d\vec{l}')}{r'^2} \cdot \vec{r}' = \frac{\mu_0 I}{4\pi} \oint_L \frac{d\vec{l} \times (-d\vec{l}')}{{r'}^2} \cdot -\vec{r}'$$

66

$$\vec{B} \cdot d\vec{l} = -\frac{\mu_0 I}{4\pi} \oint_L \frac{d\vec{l} \times (-d\vec{l}')}{r^2} \cdot \vec{r}'$$

$$\vec{B} \cdot d\vec{l} = -\frac{\mu_0 I}{4\pi} \oint_L \frac{d\vec{l} \times d\vec{s}_0}{r^2} \cdot \vec{r}' = -\frac{\mu_0 I}{4\pi} \oint_L \frac{d\vec{s}_0}{r^2} \cdot \vec{r}'$$

$$\vec{B} \cdot d\vec{l} = -\frac{\mu_0 I}{4\pi} \oint_L \frac{d\vec{s}_0}{r^2} \cdot d\omega = -\frac{\mu_0 I}{4\pi r^2} \omega$$

$\omega$  为带状区域对P点所张的立体角  
P点必定在圆柱体外  
定义电流回路右旋方向为正，则有

$$\omega + \Omega_2 - \Omega_1 = 0$$

$$\omega = -(\Omega_2 - \Omega_1) = -d\Omega$$

67

$\oint_L \vec{B} \cdot d\vec{l} = \frac{\mu_0 I}{4\pi} \oint_L d\Omega$

$L_{11}$ : 从A顺着  $d\vec{l}$  方向走到  $A'$ ，从正面走到反面。立体角变化+4π  
 $L_{21}$ : 从  $B'$  顺着  $d\vec{l}$  方向走到  $B$ ，从反面走到正面。立体角变化-4π  
 $L_{12}$ : 从  $L$  顺着  $d\vec{l}$  方向走到  $C$ ，走到原处。立体角变化0

68

$$\oint_L \vec{B} \cdot d\vec{l} = \frac{\mu_0 I}{4\pi} \oint_L d\Omega = \begin{cases} \mu_0 I & L_1 \text{ 与 } L_2 \text{ 同向} \\ -\mu_0 I & L_2 \text{ 与 } L_1 \text{ 反向} \\ 0 & L_3 \text{ 与 } L_1 \text{ 不套连} \end{cases}$$

$$\oint_L \vec{B} \cdot d\vec{l} = \mu_0 I$$

对于多个电流回路，根据磁场的叠加原理可得

$$\oint_L \vec{B} \cdot d\vec{l} = \mu_0 \sum_{L_{\text{IR}}} I_l \quad \nabla \times \vec{B} = \mu_0 \vec{j}$$

69

电场 vs. 磁场	
电场	磁场
$\oint_C \vec{E} \cdot d\vec{l} = \frac{1}{\epsilon_0} \sum_{S \text{ 包含}} q_i$	$\oint_C \vec{B} \cdot d\vec{l} = 0$
$\nabla \cdot \vec{E} = \frac{\rho}{\epsilon_0}$	$\nabla \cdot \vec{B} = 0$
$\oint_L \vec{E} \cdot d\vec{l} = 0$	$\oint_L \vec{B} \cdot d\vec{l} = \mu_0 \sum_{L_{\text{IR}}} I_l$
有源无旋	无源无旋

70

$\oint_L \vec{B} \cdot d\vec{l} = \mu_0 \sum_{L_{\text{IR}}} I_l$

$$B 2\pi r_0 = \mu_0 I$$

$$dB = \frac{\mu_0 I dl \sin \phi}{4\pi r^2}$$

$$B = \frac{\mu_0 I}{2\pi r_0}$$

71

【例4.3】半径为R的直导线，电流I均匀流过导体截面，求磁场。

【解】导体外( $r > R$ )与线电流一样

$$\vec{B} = \frac{\mu_0 I}{2\pi r} \hat{r}$$

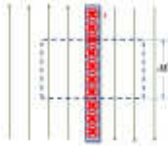
导体内( $r \leq R$ )

$$B 2\pi r = \frac{\mu_0 I}{2\pi R^2} r$$

$$\vec{B} = \mu_0 I \frac{r}{2\pi R^2} \hat{r}$$

72

### 无限大面电流的磁场分布



两侧磁场大小相等，方向相反

$$2B\Delta L = \mu_0 i \Delta L$$

匀强磁场

$$B = \frac{\mu_0 i}{2}$$

### 理想螺线管的磁场分布



由对称可知管内和管外磁场均平行于螺线管的长轴

由安培环路定理可知管内管外均为匀强磁场

由环形电流在轴线上的磁感应强度易得理想螺线管轴线上

$$B_{z=0} = \mu_0 n I$$

$$B_z = \mu_0 n I$$

$$B_z l = B_x l = \mu_0 n I l$$

$$B_x = 0$$

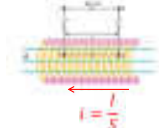
螺线管表面电磁力的压强是多少？



73

74

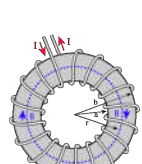
事实上，管外磁场有垂直分量



$$B_{zL} = 0$$

$$B_{\perp e} = \frac{\mu_0 I}{2\pi r}$$

75



$$B \cdot 2\pi r = \mu_0 NI$$

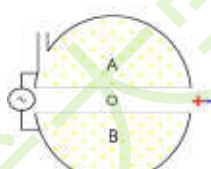
$$B = \frac{\mu_0 NI}{2\pi r}$$

当环比较细时， $a \approx b = R$

$$B = \frac{\mu_0 NI}{2\pi R} = \mu_0 n I$$

与无限长直螺线管结果一致

### § 4.4 带电粒子在磁场中的运动



76

77

#### § 4.4.1 带电粒子在均匀场中的运动

##### 洛伦兹力

带电粒子在磁场中的受力  $\vec{F} = q\vec{v} \times \vec{B}$

$$\vec{F} = m \frac{d\vec{v}}{dt} = q\vec{v} \times \vec{B}$$

$$m \frac{d\vec{v}}{dt} \cdot \vec{v} = \frac{d}{dt} \left( \frac{1}{2} m v^2 \right) = q(\vec{v} \times \vec{B}) \cdot \vec{v} = 0$$

洛伦兹力不对粒子做功，功率为零。动能不变。速率不变。

78

#### 带电粒子在均匀磁场中的运动

设磁场的方向为z

$$\vec{F} = m \frac{d\vec{v}_0}{dt} = q\vec{v}_0 \times \vec{B}$$

$$F_x = m \frac{dv_{x0}}{dt} = qv_{y0}B$$

$$F_y = m \frac{dv_{y0}}{dt} = -qv_{x0}B$$

$$F_z = m \frac{dv_{z0}}{dt} = 0$$

$z$ 方向作匀速直线运动

$$\frac{d^2v_x}{dt^2} = \frac{qB}{m} \frac{dv_y}{dt} = -\left(\frac{qB}{m}\right)^2 v_x$$

$$v_x = v_{x0} \cos(\omega t + \varphi)$$

$$\frac{d^2v_y}{dt^2} = \frac{qB}{m} \frac{dv_x}{dt} = \left(\frac{qB}{m}\right)^2 v_y$$

$$v_y = v_{y0} \sin(\omega t + \varphi)$$

$$v_x^2 + v_y^2 = v_{x0}^2 + v_{y0}^2$$

$$v_z = \sqrt{v_{x0}^2 + v_{y0}^2}$$

横向速率恒定

$$\begin{cases} v_y = -v_{x0} \cos(\omega t + \varphi) \\ v_x = -v_{x0} \sin(\omega t + \varphi) \end{cases} \quad \begin{cases} x = x_0 + \frac{v_{x0}}{\omega} \sin(\omega t + \varphi) \\ y = y_0 + \frac{v_{y0}}{\omega} \cos(\omega t + \varphi) \end{cases}$$

$$(x - x_0)^2 + (y - y_0)^2 = \left(\frac{v_{x0}}{\omega}\right)^2 = R^2$$

$$R = \frac{v_{x0}}{\omega} = \frac{mv_{x0}}{qB}$$

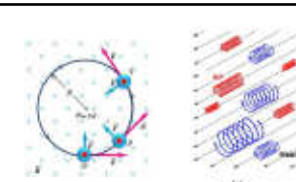
在与磁场垂直的平面里做匀速圆周运动

在与磁场平行的方向做匀速直线运动

轨迹为以磁场方向为轴的螺旋运动

周期与粒子速度无关

$$T = \frac{2\pi R}{v_{x0}} = \frac{2\pi m}{qB}$$

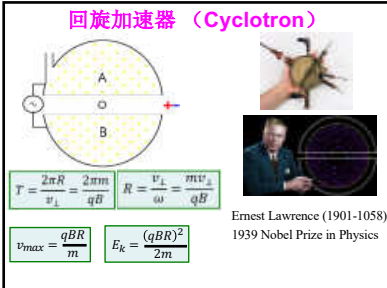


$$\text{螺距: } h = v_{x0} T = \frac{2\pi m v_{x0}}{qB}$$

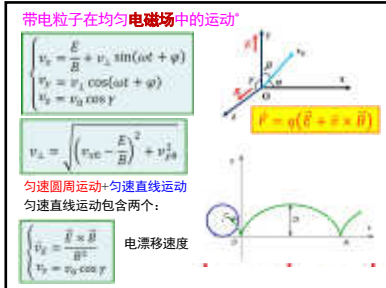
79

80

81



82



83

#### § 4.4.2 带电粒子在非均匀磁场中的运动

##### 1. 磁矩守恒

带电粒子在非均匀磁场中运动，当磁场的**非均匀尺度远大于带电粒子的回旋半径**的时候，粒子的运动依然可以近似看成磁感应线的**螺旋运动**。

由于非均匀磁场造成的梯度力做功，粒子沿磁感应线方向的速度 $v_\parallel$ 不再是守恒量。

由于磁场力不做功，动能不变。相应地，粒子垂直于磁感应线方向的速度 $v_\perp$ 不再是守恒量。

$$\text{可证, 粒子运动的回旋磁矩 } \mu \text{ 是守恒量。} \quad \mu = \frac{1}{2} m v_\perp^2 / B$$

84

设在轴对称、缓慢变化的磁场中

取圆柱高斯面，根据磁场高斯定理，有

$B_r 2\pi r dx + [B_z(x + \Delta z) - B_z(x)] 2\pi r^2 = 0$

$B_z = -\frac{r}{2} \frac{[B_z(x + \Delta z) - B_z(x)]}{\Delta z}$

$B_r \xrightarrow{z \rightarrow 0} = -\frac{r}{2} \frac{\partial B_z}{\partial z}$

**z方向有梯度必然导致径向有磁场**

径向磁场导致的洛伦兹力： $f_r = qv_1 B_r = -qv_1 \frac{r}{2} \frac{\partial B_z}{\partial z}$

用梯度力可得到同样结果

$\mu = \frac{1}{2} m v_\perp^2 = \frac{q}{2\pi r / v_1} B^2 = q v_1 \frac{r}{2}$

$f_\theta = \mu_\theta \frac{\partial B_z}{\partial z} = -qv_1 \frac{r}{2} \frac{\partial B_z}{\partial z}$

85

$f_r = m \frac{dv_\perp}{dt} = -\mu \frac{\partial B_z}{\partial z}$

两边同乘 $v_\perp$

$\frac{d}{dt} \left( \frac{1}{2} m v_\perp^2 \right) = -\mu \frac{\partial B_z}{\partial z} \frac{dx}{dt} = -\mu \frac{dx}{dt}$

其中带电粒子的磁矩： $\mu = qv_1 \frac{r}{2} = \frac{qv_\perp m v_\perp}{2} = \frac{\frac{1}{2} m v_\perp^2}{B}$

$\frac{1}{2} m v_\perp^2 = \mu B$

$\frac{d}{dt} \left( \frac{1}{2} m v_\perp^2 \right) = \frac{d}{dt} (\mu B) = \mu \frac{dB}{dt} + B \frac{d\mu}{dt}$

$\frac{d}{dt} \left( \frac{1}{2} m v_\perp^2 + \frac{1}{2} m v_\perp^2 \right) = 0 = B \frac{d\mu}{dt}$

$\frac{d\mu}{dt} = 0, \mu = \text{const}$

**缓变磁场中, 磁矩守恒**

86

**回旋运动**

$\mu = \frac{mv_\perp^2}{B}$

$R^2 = \left( \frac{mv_\perp}{qB} \right)^2 = \mu \frac{2m}{q^2 B}$

$R = \sqrt{\frac{2m\mu}{q^2 B}}$

**回旋半径与磁场的平方根成反比**  
**弱场到强场时, 回旋半径变小**

$\Phi = BS = B\pi R^2 = \mu \frac{2\pi m}{q^2} < 0.01 \text{ Wb}$  **磁通量守恒**

$T = \frac{2\pi R}{v_\perp} = \frac{2\pi m}{qB}$  **回旋周期近似守恒**

87

**z向速度 $v_z$ 的变化**

$\mu = \frac{1}{2} m v_\perp^2 / B$

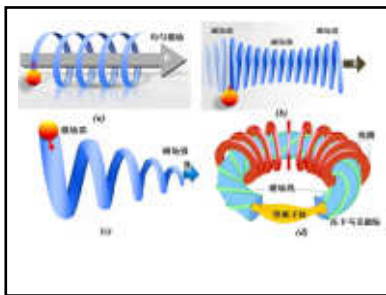
弱场到强场时, 回旋速度 $v_\perp$ 变大, z向速度 $v_z$ 变小

**螺距**

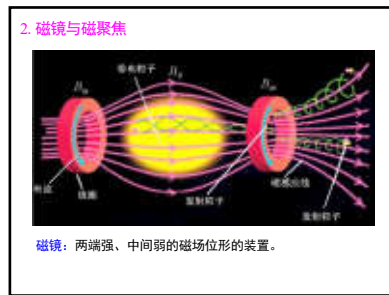
$h = v_\parallel T = \frac{2\pi m v_\perp}{qB}$

弱场到强场时, 螺距变小

88



89



90

$\mu = \frac{1}{2} \frac{mv_\perp^2}{B} = \text{const}$

弱场到强场时，回旋速度 $v_\perp$ 变大， $z$ 向速度 $v_\parallel$ 变小  
 $v_\parallel = 0$ 时，粒子不能再往前走，返回，永远无法逃出磁镜  
 设粒子在磁镜最弱处运动速度与磁场夹角为 $\theta$ ，设到达磁场最强处恰好 $v_\parallel = 0$ ，根据磁矩守恒，有

$$\mu = \frac{\frac{1}{2}mv_\perp^2}{B_1} = \frac{\frac{1}{2}mv_\perp^2 \sin^2\theta}{B_2} = \frac{\frac{1}{2}mv_\perp^2}{B_{\max}}$$

$$\sin\theta_{\max} = \sqrt{\frac{B_2}{B_{\max}}} = \sqrt{\frac{1}{B_{\max}}}$$

$\theta > \theta_{\max}$  粒子被约束在磁镜里  
 $\theta < \theta_{\max}$  粒子穿过磁镜而损失

91

92

**磁聚焦**

加上磁场后，小角度内发射的粒子在经过一个周期后回到同一点，达到聚焦目的。

93

**§ 4.5 霍尔效应**

94

霍尔效应是磁电效应的一种。这一现象是霍尔与1879年在研究金属的导电机制时发现。  
 电流流过处在磁场中的金属时，在垂直于电流和磁场方向上，金属导体出现电势差。  
 但当时电子还没有被发现，人们无法解释霍尔现象。金属的霍尔效应也很弱，没有得到应用。  
 后来发现半导体也有霍尔效应，而且比金属强得多。随着半导体技术的发展，霍尔效应得到广泛的应用。

95

96

电子流过处在磁场中的半导体时，会因受到洛伦兹力而偏转  
 $\vec{F}_\text{洛} = -ev\vec{v} \times \vec{B} = evB\vec{e}_y$

载流子堆积在半导体一侧，会形成电场，给载流子施加电场力。  
 $\vec{F}_\text{电} = -e\vec{E}_y = -e\frac{V_h}{d}\vec{e}_x$

电场力抵消洛伦兹力，最终达到平衡，载流子不再偏转，电势差不在变化。  
 $evB = e\frac{V_h}{d}$   
 $V_h = vBd$

97

$$I = jS = nev \cdot bd$$

$$v = \frac{I}{nebd}$$

$$V_h = vBd = \frac{IB}{nebd} = R_h \frac{IB}{d} = K_h IB$$

$$R_h = \frac{1}{ne} = \frac{1}{\rho_a}$$

载流子浓度 $N_A$ ( $\text{cm}^{-3} \cdot \text{As}$ )	$10^{13}$	$10^{14}$	$10^{15}$
载流子密度 $n$	$10^{-13}$	$10^{-12}$	$10^{-11}$

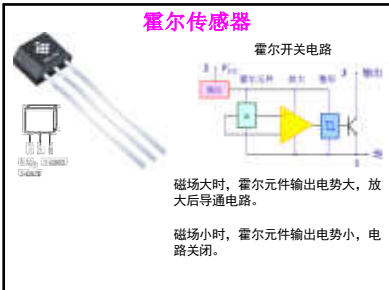
**霍尔系数**。与载流子密度有关，表征材料产生霍尔效应的本领。  
 $K_h = \frac{R_h}{d}$  **霍尔元件的灵敏度**。表征元件产生霍尔效应的本领。灵敏度越大，产生的电势差越大。

98

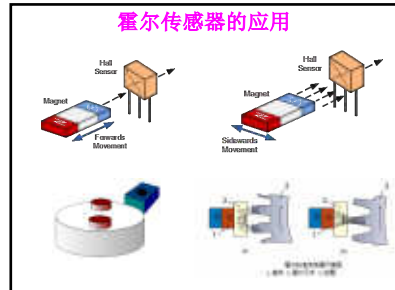
**霍尔效应的应用**

可测载流子的浓度。  
 可测载流子带正电荷还是负电荷。即**判断半导体是P型还是N型**。  
 可测**磁感应强度**。是磁场测量的常用方法。

99



100



101

中国科学技术大学物理学院唐